

ВСЕСОЮЗНЫЙ НАУЧНО-ИССЛЕДОВАТЕЛЬСКИЙ ИНСТИТУТ  
ПО СТРОИТЕЛЬСТВУ МАГИСТРАЛЬНЫХ ТРУБОПРОВОДОВ

Утверждаю:

Зам. директора института  
к.т.н.

н/п В.И. ПРОКОФЬЕВ

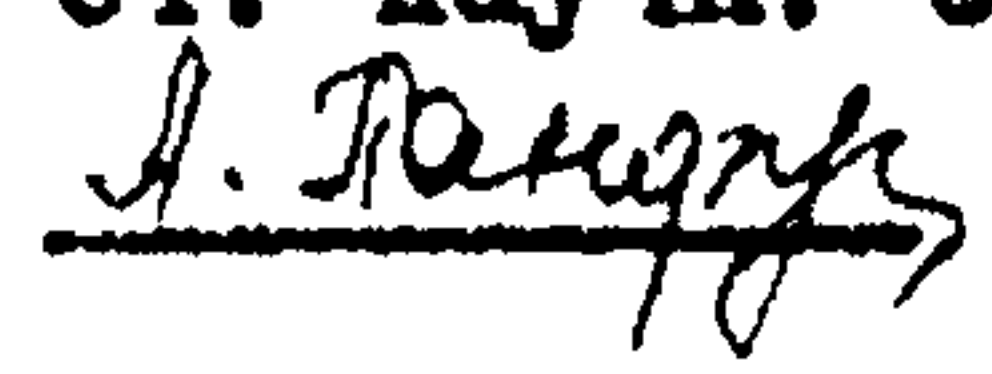
"29" января 1980 г.

РУКОВОДСТВО  
ПО ОПРЕДЕЛЕНИЮ СОПРОТИВЛЕНИЯ УДАРУ  
ЗАЩИТНЫХ ПОКРЫТИЙ МАГИСТРАЛЬНЫХ ТРУБОПРОВОДОВ

Р 381-80

Заведующий лабораторией  
физико-химических исследований изоляционных по-  
крытий и конструкций  
д.х.н., профессор

 А.Т. САНЖАРОВСКИЙ

ст. научн. сотр., к.т.н.,  
 А.И. ПАНФЕРОВА

Настоящее руководство содержит способ, устройство и методику определения ударной прочности защитных антикоррозионных покрытий магистральных трубопроводов на образцах-пластинах, на образцах-трубах, и на натурной трубе, при температуре окружающей среды.

В основу руководства, разрабатываемого впервые, положено сформулированное авторами понятие ударной прочности защитных покрытий магистральных трубопроводов. Это понятие определяет ударную прочность как энергию разрушения изоляции при прямом центральном ударе в условиях жесткости соударения, адекватных реальному.

Руководство составлено по результатам научно-исследовательских и опытно-конструкторских работ\*, проведенных в лаборатории физико-химических исследований изоляционных покрытий и конструкций, Львовской опытно-экспериментальной базы и Специального проектно-конструкторского отдела ВНИИСТА.

Авторы руководства - А.М. Зиневич (к.т.н.), А.Т. Санжаровский (д.х.н.), А.И. Панфёрова (к.т.н.), инженеры: Г.В. Асадчева, О.И. Баева, О.Д. Кованов, Л.С. Шевела, Н.Н. Потехин.

---

\* Экспериментальная часть работы выполнялась при участии З.Я.Андреевой, Т.В. Кубаревой, Н.В. Тяпкина.

## I. ОБЩИЕ ПОЛОЖЕНИЯ

С расширением географии сооружения магистральных трубопроводов от южных районов страны до крайнего севера, с сдвигом границ сезонности проведения строительных работ, а также с развитием базово-заводской технологии изоляции острее встал вопрос об улучшении механических свойств изоляционных материалов, используемых для защиты трубопроводов от коррозии. Одним из главных в ряду показателей физико-механических свойств покрытий является показатель их сопротивления удару, ударным нагрузкам.

Ударным воздействиям антикоррозионные покрытия подвергаются при транспортно-складских операциях с изолированными трубами, а также в момент опуска трубопроводных панелей в траншее и их засыпки грунтом. Энергия удара при этом может достигать 140 Дж и более.

В связи с сложностью ударного явления, которое в случае защитных покрытий на трубопроводе ещё более усложняется вследствие большого разнообразия физико-механических свойств используемых изоляционных материалов, необходимо, чтобы испытание этих материалов на прочность при ударе проводилось в условиях, близких к реальным условиям эксплуатации.

Существующие в стране нормативы на антикоррозионные покрытия по критерию их ударной прочности разработаны, главным образом, на основании результатов исследования этого свойства по методике ГОСТ 4765-73. По этому методу ударную прочность покрытия определяют путем пластического деформирования тонкой (0,8-1,0мм) изолированной пластины при ударе (рис. Iа). Модель гостированного способа не отражает реальных условий соударения изоляции на трубе (трубопроводе), так как пластическая деформация стенки трубы не допускается.

Механическая прочность материала изоляции всегда ~~имеет~~  
ниже механической прочности металла. Поэтому при ударных нагрузках, воспринимаемых изолированной трубой (трубопроводом), покрытие всегда играет роль демпфера вплоть до своего разрушения.

Таким образом, в реальных условиях разрушение защитных покрытий на изолированной трубе (трубопроводе) происходит по типу ударного внедрения. Для него характерно совпадение максимума ударного импульса с максимумом местной контактной деформации. Ключом последней связан с моментом разрушения покрытия, который, в свою очередь, обусловлен видом материала изоляции, его физическом состоянии и толщиной слоя.

Если при испытании антикоррозионных покрытий на прочности при ударе не обсечиваются условия ударного внедрения, то один и тот же изоляционный материал, в одном и том же физическом состоянии, в зависимости от жесткости соударения, обладает различным сопротивлением ударному разрушению. Это объясняется тем, что с изменением жесткости соударения меняется тип ударной разрушения.

Пример зависимости прочности при ударе различных изоляционных покрытий от жесткости соударения при испытании иллюстрирует рис. I. Испытания проводили в условиях возможного смещения соударящихся элементов. Схема соударения показана на рис. I.a. При этом жесткость соударения, как аргумент, меняли путем изменения толщины изолированной пластины-образца.

Из рис. I видно, что для всех покрытий функция  $\mathcal{U}(t)$  имеет максимум. Величина этого максимума и его положение на оси  $t$  — оси изменения толщины образца-пластины различны для каждого покрытия.

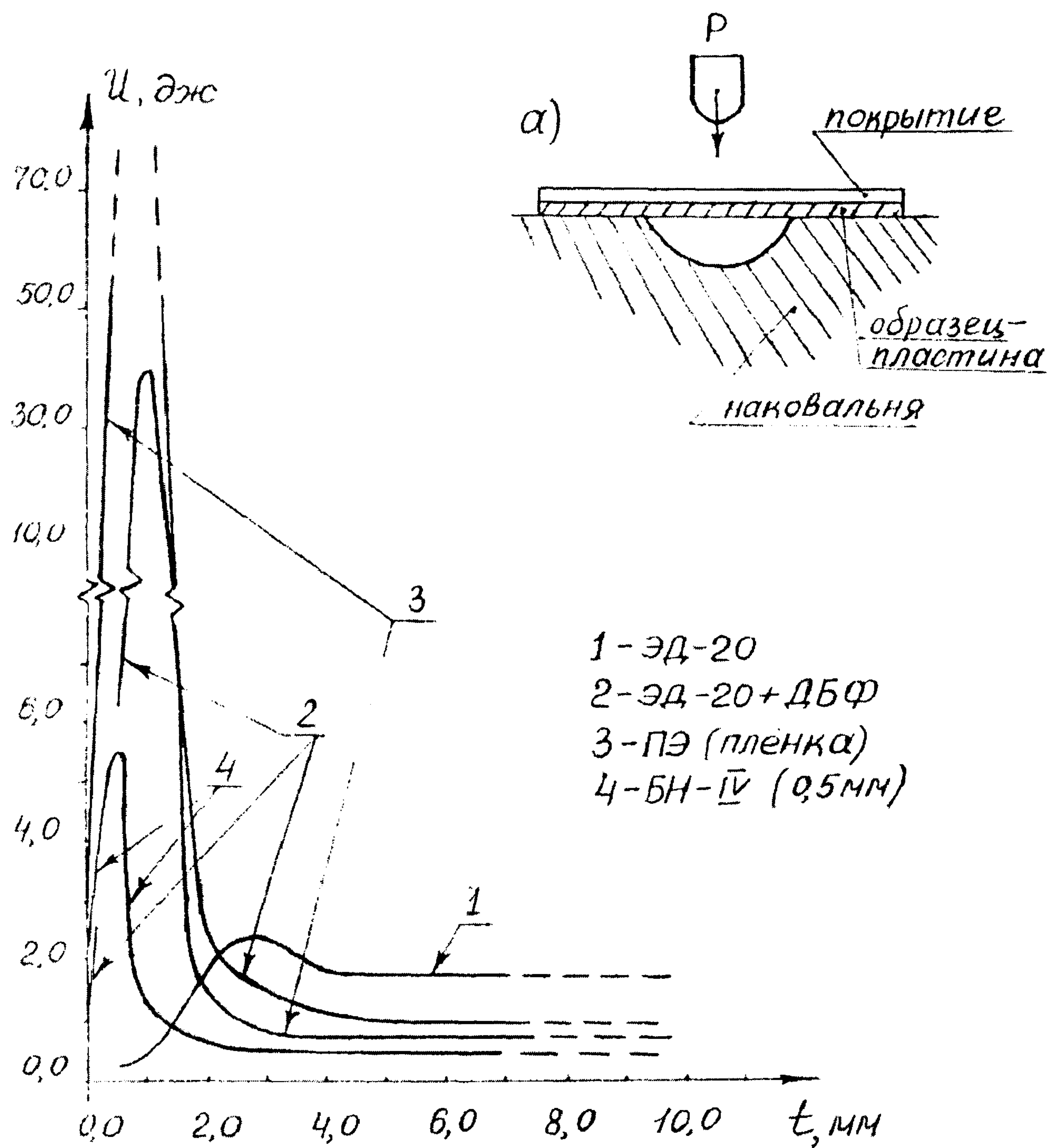


Рис. 1

ВЛИЯНИЕ ТЕХНОЛОГИИ СОУДАРЖИИ НА ПОКАЗАТЕЛЬ

ЭНЕРГИИ РАЗРУШЕНИЯ ПОКРЫТИЙ ПРИ УДАРЕ.

а/ схема соударения.

## 6.

Общим для всех материалов является то, что их показатели энергии разрушения остаются практически неизменными при изменении толщины пластин от 4,0 мм и более, когда в процессе соударения практически отсутствует смещение соударяющихся элементов. В этих условиях покрытия разрушается по типу ударного внедрения.

Уменьшение толщины изолированной пластины влечет за собой смену соударяющихся элементов, изменяя характер (тип) разрушения покрытия при ударе и приводит к повышению или к понижению показателя сопротивления изоляции ударным нагрузкам. И если изоляционное покрытие эластичное, то чем большей гибкостью обладает защищаемая конструкция (чем меньше толщина пластины), тем больше отклонения в показателях ударной прочности в сторону залегания по сравнению с разрушением по типу ударного взаимодействия. Так для изоляционной ленты (кривая 3) в точке максимума это залегание имеет более чистую вторую степень. Ударная прочность в этой точке ( $\mathcal{U}(1,0) > 60$  дж) более чем в 100 раз выше  $\mathcal{U}(4,0)$ ,  $\mathcal{U}(6,0) \dots \simeq 0,6$  дж.

В случае эпоксидного непластифицированного покрытия, склонного к хрупкому разрушению (кривая 1), ударная прочность в точке максимума ( $\mathcal{U}(2,0) \simeq 3,0$  дж) только в полтора раза больше, чем в точках  $t \geq 4,0$  мм. Но для этого покрытия характерно и понижение энергии разрушения с уменьшением толщины образцов-пластин. У него  $\mathcal{U}(1,0)$  меньше  $\mathcal{U}(4,0)$ ,  $\mathcal{U}(6,0) \dots$  более чем в три раза.

Таким образом, если изоляционные материалы испытывать по ГОСТ 4765-73, т.е. на пластинах 0,8-1,0 мм и по схеме соударения (рис. I,a), то полученные результаты не могут быть использо-

зованы для оценки истинного сопротивления удару антикоррозионного покрытия на магистральных трубопроводах. Защитные покрытия на магистральных трубопроводах разрушаются при ударе только по типу ударного внедрения, и условия их испытания должны обеспечить именно этот вид разрушения.

На рис. I этот тип разрушения характеризуют те участки кривых зависимости ударной прочности от толщины подложки, когда ее толщина не уменьшается менее 4,0 мм. Показатели энергии разрушения в этих точках существенно (на величину до двух порядков) отличаются от показателей в точках, где проявляется пластический прогиб пластины-подложки.

Требуемые условия сождения обеспечивает разработанный авторами способ определения прочности покрытий при ударе. Способ отличается тем, что его физическая модель УТ-І характеризуется достаточной степенью соответствия реальным условиям соударения изоляции на трубе.

## 2. УСТАНОВКА ДЛЯ ОПРЕДЕЛЕНИЯ УДАРНОЙ ПРОЧНОСТИ ЗАЩИТНЫХ ПОКРЫТИЙ МАГИСТРАЛЬНЫХ ТРУБОПРОВОДОВ У Т - І

2.1. Конструкция УТ-І позволяет определять ударную прочность защитных покрытий на трубчатом образце (рис.2), на образце-пластине (рис.4) и на натурной трубе (рис.5).

Соударяющимися элементами при этом являются: покрытие на образцах (на трубе)-І и бойк-2 свободно падающего груза.

Исключение смещения соударящихся элементов достигают в случае трубчатого образца (рис.2) плотной посадкой его на стальную оправку, жестко закрепленную на опорах З.

При использовании пластинчатого образца (рис. 4) последний (I) жестко закрепляется на плоской изковальне 3, смонтированной так, что возможно ее лишь вынужденное горизонтальное перемещение с помощью упорного винта 8.

Без тормозность свободного падения ударяющего груза обеспечивает направляющий цилиндр 4, который винтом 5 закрепляют на опоре 6 с возможностью вертикального перемещения только в момент пристройки УТ-1 к работе.

Все детали УТ-1 смонтированы на стальной плате 7, устанавливаемой при монтаже неподвижно жестко на бетонном фундаменте.

## 2.2. Техническая характеристика УТ-1

Температура испытания	К	233... 313
Высота подъема груза,	мм	0; 5; 10 ..... 700
Масса груза	кг	0,25; 0,5; ..... 6,0
Радиус сферы бойка	мм	8,0
Гардость стали бойка с индукционно обработан:		не ниже 60 НRC
a) трубка:		
длина	мм	200
внутренний диаметр	мм	52Н1
толщина стенки	мм	не менее 2,5
b) пластина:		
длина	мм	00
ширина	мм	150
толщина	мм	не менее 4,0
c) накручивающая труба, трубопровод:		
диаметр	мм	325 ..... 1420

1-образец  
2-боек  
3-опоры оправки  
4-направляющий цилиндр  
5-зажим для фиксации  
направляющего цилиндра  
6-цилиндрическая опора  
7-плита-основание  
8-упорный винт

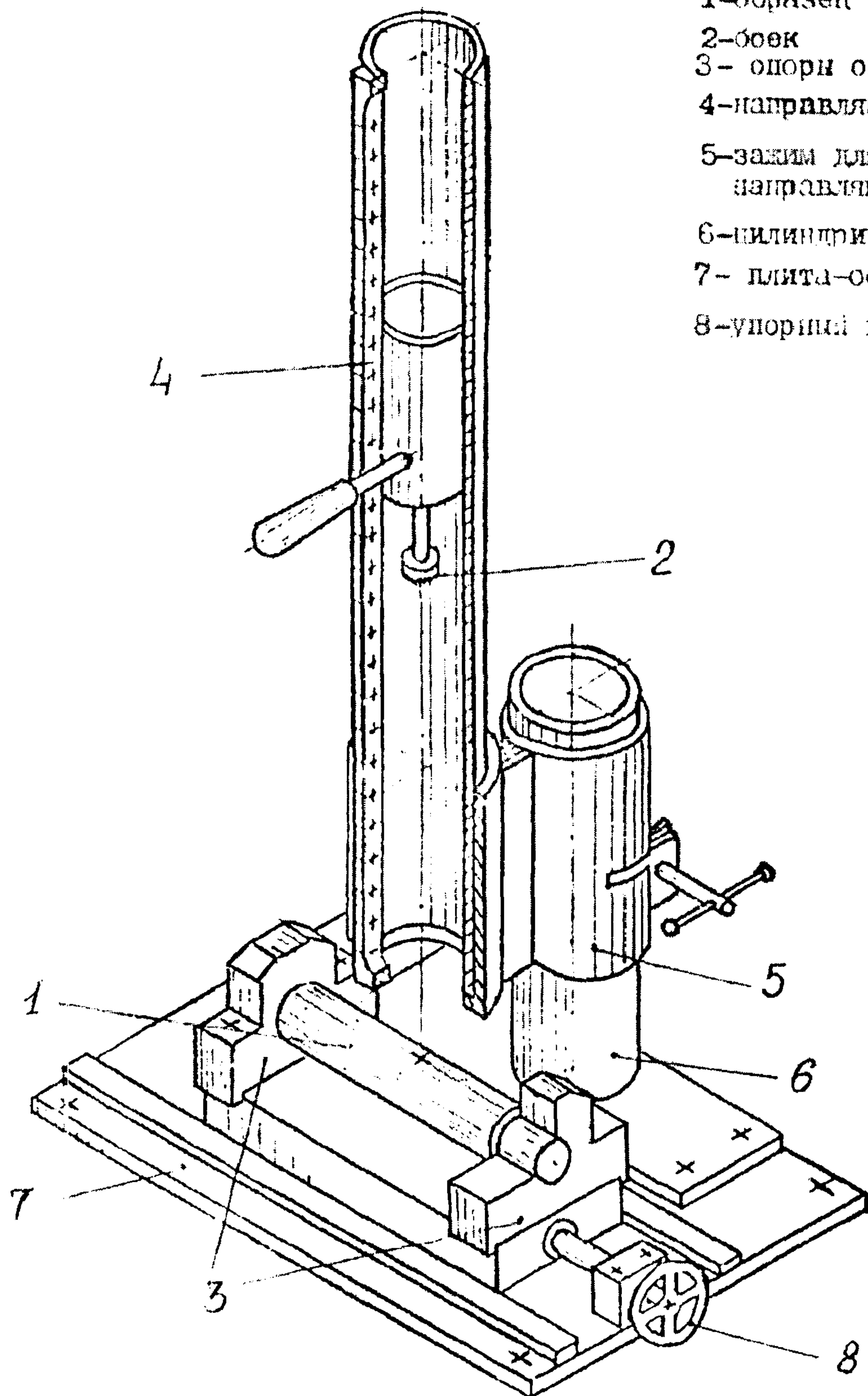


Рис. 2

ИСПЫТАНИЕ ПОКРЫТИЯ НА ТРУБЧАТОМ ОБРАЗЦЕ

УТ-1 устанавливают на бетонном фундаменте с соблюдением строгой вертикальности направляющего цилиндра.

### 2.3. Образцы для испытания.

В зависимости от вида покрытия и способа его нанесения, используемые образцы могут быть: в виде пластин, трубок, а также в виде отрезков из натурных труб размером 150x200 в проекции.

Подготовка поверхности образцов перед нанесением изоляции должна соответствовать подготовке поверхности металла изолируемой трубы (трубопровода).

Способ и условия нанесения покрытия на образец должны соответствовать технологии изоляции трубы (трубопровода).

Образцы перед испытанием выдерживают в течение времени, обусловленного типом покрытия для релаксации напряжений, возникающих при его формировании.

## 3. ПРОВЕДЕНИЕ ИСПЫТАНИЙ

### 3.1. Испытание покрытия на образцах-трубках (рис.2).

3.1.1. При помощи толщиномера МТ ЗН, МТ З2Н, МТ ЗЗН измеряют толщину покрытия не менее чем в трех точках по образующей и не менее чем в четырех точках по окружности, т.е. не менее чем в четырех точках ( $3 \times 4 = 12$ ) образца и вычисляют среднее значение толщины.

3.1.2. Образец размечают на точки для удара, помещают на оправку как показано на рис. 2 и жестко закрепляют в опорах 3.

Расстояние от края образца до точки удара и между точками должно быть не менее 30(мм). В случае хрупкого разрушения покрытия, с образованием трещин и сколов, последующие удары наносят в

## II.

точках на расстоянии не менее 50 мм от образовавшейся трещины или скола).

С помощью передвижных опор 5-6 устанавливают направляющий цилиндр 4 так, чтобы ударяющая поверхность бойка 2 свободно касалась покрытия при нулевой отметке на шкале высоты падения груза

3.1.3. По nomogramme рис.3 подбирают массу груза, зная предполагаемую ударную прочность покрытия.

В случае, когда предполагаемая ударная прочность изоляции недостаточна, массу груза подбирают следующим образом. Путем постепенного приближения спределяют наибольшую массу груза  $P_{max}$ , при которой покрытие еще не разрушено, и минимальную  $P_{min}$ , разрушающую покрытие с высоты  $h = 25$  см. Разница между этими массами  $\Delta P$  не должна превышать 0,5 кг при  $U \leq 5,0$  дж и 1,0 кг при  $U > 5,00$  дж.

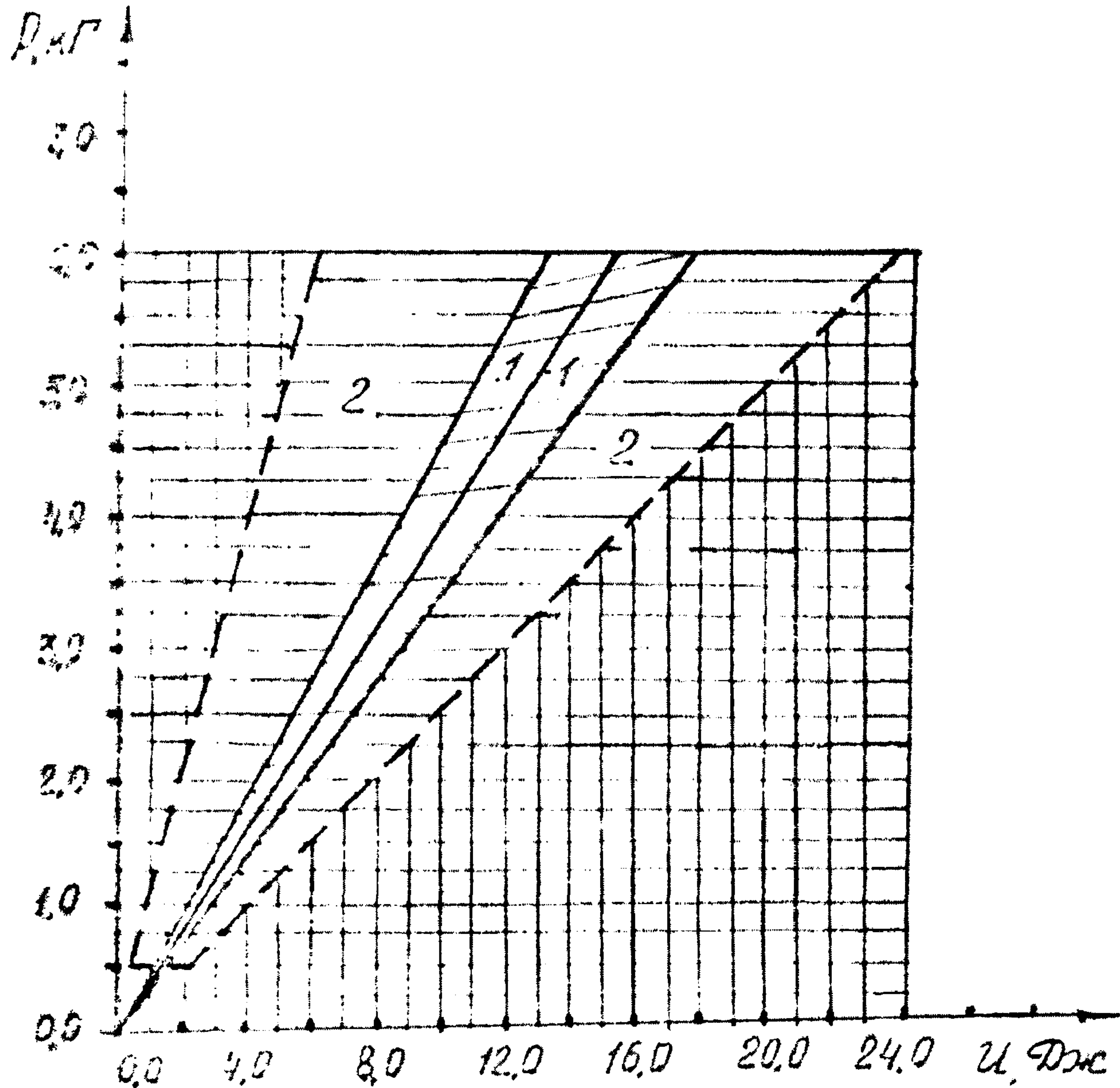
Разрушение покрытия фиксируют искровым дефектоскопом при напряжении 6 кв на 1 мм толщины изоляции.

Допускается метод контактного контроля сплошности посредством сжигания окрестности точки удара электролитом.

3.1.4. Сборным по nomogramme рис.4 грузом либо подобранным по 3.1.3.  $P_{max} + \frac{\Delta P}{2}$  (или  $P_{min} - \frac{\Delta P}{2}$ ) ведут собственно испытания, меняя высоту падения груза в пределах 20-30 см, с интервалом  $4 \frac{h}{0,5}$  см. Энергию удара в протоколе испытания фиксируют по точкам разрушения и неразрушения, как показано на примере в таблице I: "да" - "выдержало", "нет" - "не выдержало".

### 3.2. Испытание покрытия на образцах-пластинах (рис.4).

3.2.1. Измеряют толщину покрытия не менее чем в десяти точках и вычисляют среднее значение толщины  $\bar{d}$ .



НОМЕРНАЯ ЛИЛ ВЫХОДА УДАРЯЮЩЕГО ГРУЗА

1-1 - рабочая зона. 2-2 - допустимая зона

13.

Таблица I

Порядок замера энергии разрушения  
( $n$  - число штуков,  $P$  - вес груза).

Материал покрытия - ПЭИД

Толщина покрытия  $\sigma = 0,90-1,11$  мм;  $\bar{\sigma} = 1,02$  мм

номер последовательности	номер погоды	вес гр., кг	высота падения см	исследование		$U_n$	$\bar{U}$	$\bar{\sigma}$	$U_{\text{ср}}$	Примечание
				разрушения	"да"   "нет"					
I	I,5	13,0	да			19,5				
2	I,5	13,5	да			20,2				
3	I,5	14,0	да			21,0				
4	I,5	14,5	да	нет		21,7				
5	I,5	14,0		нет		21,0				
6	I,5	13,5	да			20,2				
7	I,5	14,0		нет		21,0				
8	I,5	13,5		нет		20,2				
9	I,5	13,0		нет		19,5				
I39	I0	I2,5	да			18,7	19,74	0,95	19,35	Разрушение покрытия взаимо-упруг.
	II	I,5	13,0		нет	19,5	20,47	1,08	19,99	
	12	I,5	12,5		нет	18,7				
	13	I,5	12,0	да		18,0				
	14	I,5	12,5	да		18,7				
	15	I,5	12,0	да		19,5				
	16	I,5	13,5	да		20,2				
	17	I,5	14,0		нет	21,0				
	18	I,5	13,5	да		20,2				
	19	I,5	14,0	да		21,0				
	20	I,5	14,5		нет	21,7				

Примечание: Любимый показатель означает:

в числителе - энергия неразрушения,  
в знаменателе - энергия разрушения.

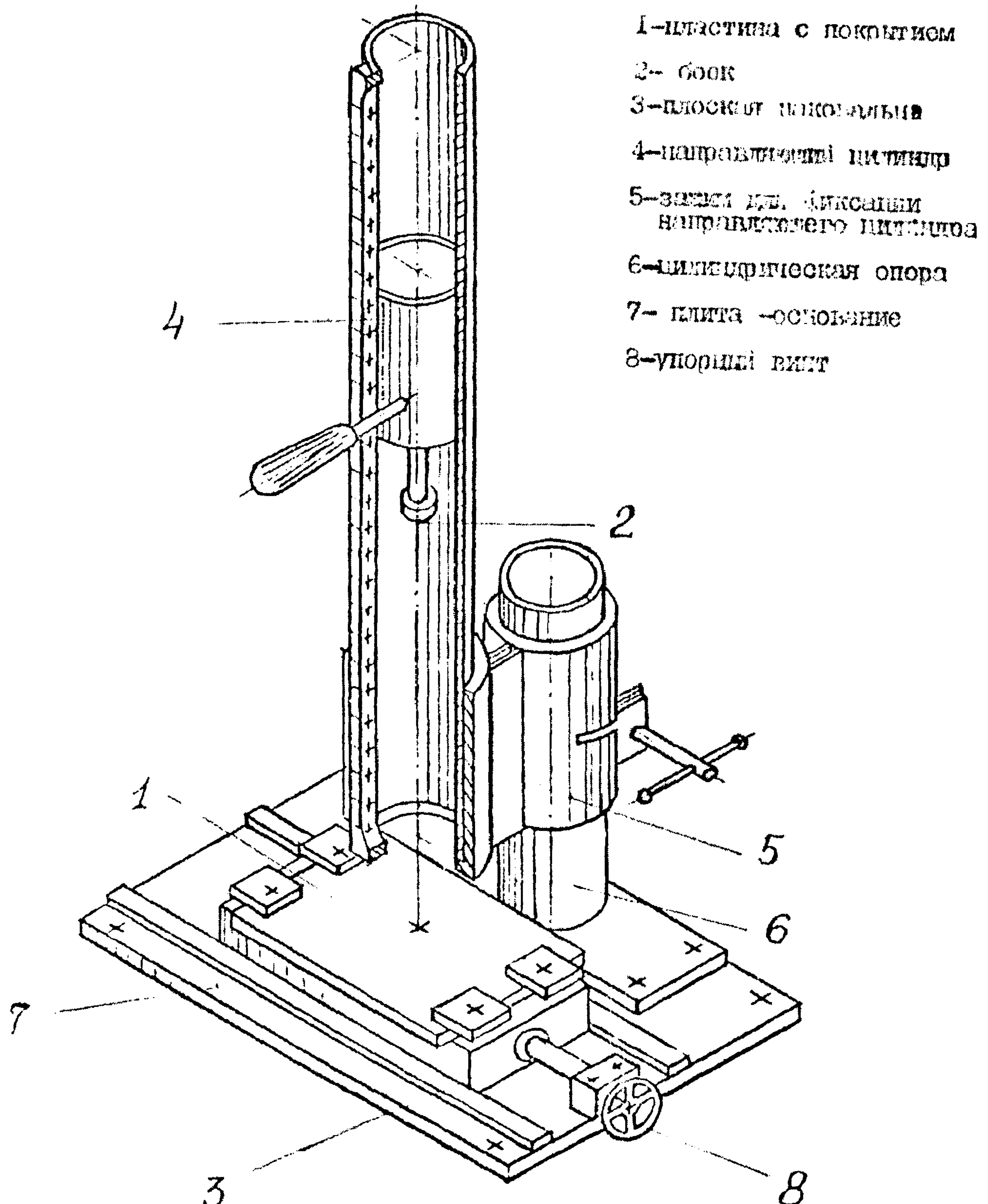


Рис.4.

ИЗГОТОВЛЕНИЕ ПОКОРЫТИЯ НА ОГРАНЕННЫЕ ЧАСТИ

3.2.2. Образец размещают на точки для удара аналогично п. 3.1.2. и жестко закрепляют на плоской настольне, как показано на рис.5. С помощью переносных опор 5-6 опускают направляющий цилиндр 4 так, чтобы удерживающая поверхность бойка 2 свободно касалась покрытия при нуевой отметке на шкале высоты падения груза.

3.2.3. Выбор ударяющего груза, собственно испытания, запись результатов и их обработку проводят как указано в п. 3.1.3 и п. 3.1.4.

3.3. Исследование покрытия на натурной, изолированной трубе (рис.5).

3.3.1. Ударную прочность покрытия на натурной трубе определяют для сечений соответствия показателя энергии разрушения  $U_{изм}$  требуемому сопротивлению изоляции удару. Для этого выбирают участок (либо участки) на изолированной трубе, характеризуемые визуально наихудшим качеством изоляции и наименьшей толщиной слоя.

Выбранные участки разбивают на точки для удара строго по верхней образующей трубы. Толщину покрытия замеряют в каждой, кадечной для удара, точке.

3.3.2. Направляющий цилиндр 4 при помощи переносных опор 3 устанавливают строго вертикально. Радиальное отклонение от вертикали не должно превышать 2,0 градуса.

3.3.3. Выбор ударяющего груза и собственно испытания проводят, как описано в п. 3.1.3 и п. 3.1.4. В протоколе испытания отмечают единичные показатели энергии разрушения и определяют ее среднее значение. Оно должно быть не менее  $1,15 U_{тр}$  (требуемого), т.е.

$$\frac{U_{изм}(\text{измеренное})}{U_{тр}(\text{требуемое})} \geq 1,15 \quad (I)$$

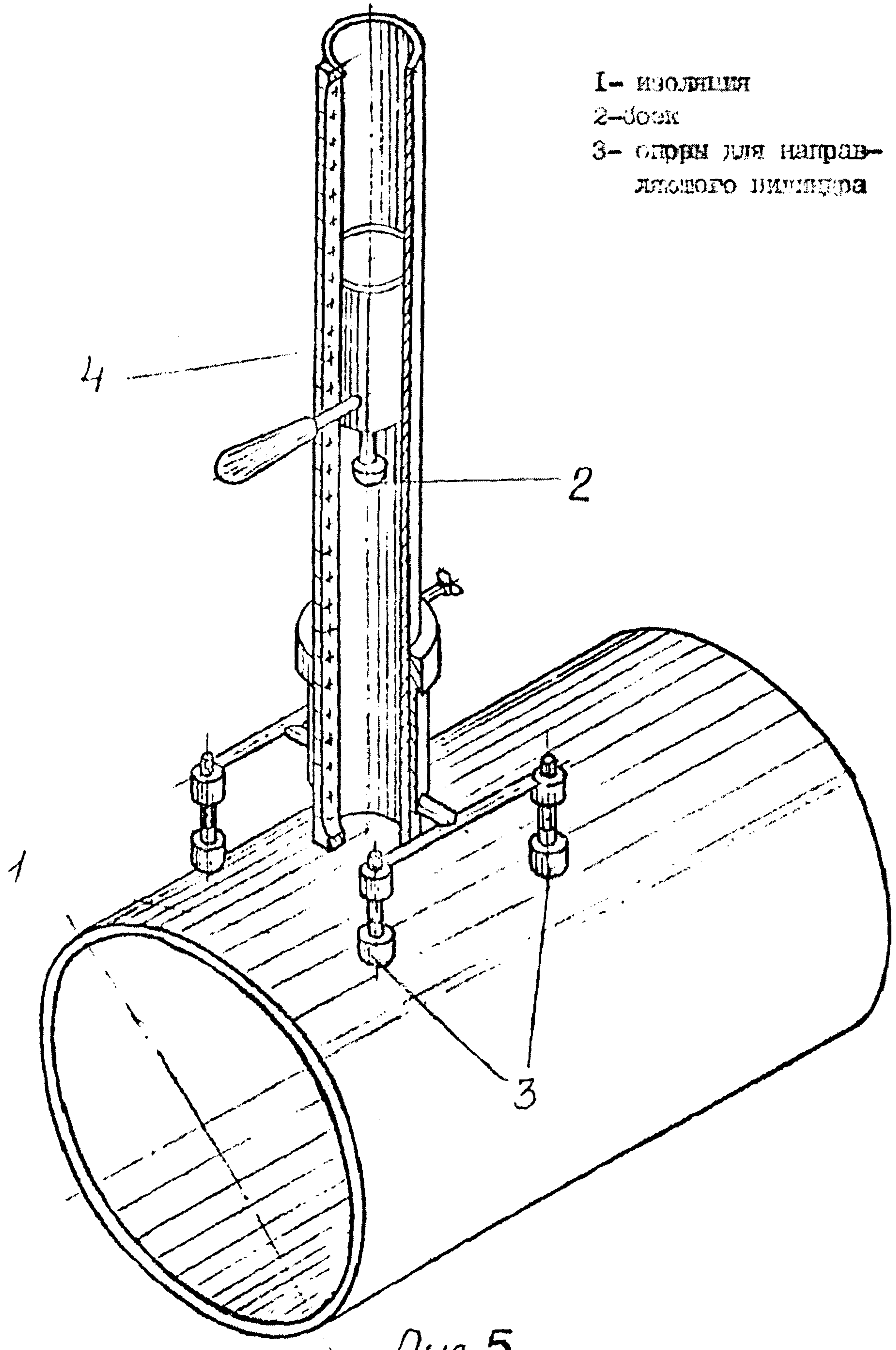


Рис. 5.

Схема установки по рисунку на натурной трубе / трубопроводе/

#### 4. ПЕРРАБОТКА РЕЗУЛЬТАТОВ

4.1. Делают выборку разрушений ("нет") и неразрушения ("да") из общего числа ударов по образцу - близнецом.

4.2. Для каждой выборки определяют среднее арифметическое значение энергии разрушения (неразрушения)  $\bar{U}$  по формуле:

$$\bar{U} = \frac{1}{n} (U_1 + U_2 + U_3 + \dots + U_n) \quad (2)$$

где:  $n$  - количество точек в выборке (по "да" или "нет");  
 $U_1, U_2, U_3, \dots, U_n$  единичные значения энергии разрушения (неразрушения) в каждой точке.

4.3. Определяют среднее квадратичное отклонение по формуле

$$S - \text{выборочный параметр для определения квадратичного отклонения} \quad (3)$$

где:  $S = \sqrt{\frac{1}{n-1} [(U_1 - \bar{U})^2 + (U_2 - \bar{U})^2 + (U_3 - \bar{U})^2 + \dots + (U_n - \bar{U})^2]} \quad (4)$

$U_1, U_2, U_3, \dots, U_n$  - то же, что в п. 4.2;

$K$  - определяют по табл. 2, в зависимости от количества точек в выборке -  $n$ .

4.4. Определяют нижнюю доверительную границу для ~~выборки~~ генеральной средней  $U_H$  по формуле:

$$U_H = \bar{U} - l \cdot S \quad (5)$$

где  $S$  - то же, что в п. 4.3;

$l$  - определяют по табл. 2, в зависимости от количества точек в выборке -  $n$ .

Таблица 2

Значение коэффициентов  $k$  и  $\ell$   
в зависимости от числа точек в выборке -  $n$

$n$	$k$	$\ell$	$n$	$k$	$\ell$
2	1,253	2,18	14	1,019	0,368
3	1,123	1,03	15	1,018	0,347
4	1,035	0,819	16	1,017	0,334
5	1,064	0,685	17	1,016	0,324
6	1,051	0,562	18	1,015	0,313
7	1,042	0,544	19	1,014	0,305
8	1,033	0,500	20	1,013	0,296
9	1,032	0,466	21	1,012	0,289
10	1,028	0,437	22	1,012	0,281
11	1,025	0,414	23	1,011	0,275
12	1,023	0,401	24	1,011	0,269
13	1,021	0,393	25	1,010	0,264

### 5. ФОРМА ВЫДАЧИ РЕЗУЛЬТАТОВ ИСПЫТАНИЯ

5.1. В протоколе испытания отражают: тип покрытия, его краткую характеристику, номера образцов и их размеры, толщину покрытия, температуру образца при испытании, сдвиговые показатели, квадратичные отклонения, наименьший доверительный уровень, характер разрушения.

5.2. Продолжаемая форма выдачи результатов приведена в табл. 3.

Протокол испытаний стального полипропиленового трубопровода на прочность при ударе

№ п/п	Тип покрытия и его особенности (составные)	Тип образца	Диаметр по изогнутому краю, мм	Толщина трубы, мм	Температура испытания, °C	Показатели прочности, кПа				Примечание		
						$\bar{\sigma}$	$G$ , $\delta_{2\%}$	$\sigma_{II}$ , кПа	$\Delta_{II}$ , Дж			
1.	Полигидрон (НЭ Г) вспененный =200 мм	Трубка 652 мм	10-1,1	28.02.78.	07.04.79.	+23	42.3 19,2	4.14 4,62	0.53 0.36	39.7 46.9	2.39 4.00	После старения в сж. условиях
2.	изобитеп	пластик 4x120x150 мм	3.5-1,0	20.06.79.	03.07.79.	+23	51.2 53,4	5.21 5.21	0.49 0.52	0.4 51,5	4.34 5.04	12% ТЭПа
3	Лента изоляционная по ГОСТ 752 в два слоя, плоскость оберточная полимерная, в два слоя	Натуральная труба 610мм	1.0 1.0	27.09.79.	23.09.79.	+19	34.2 35,6	2.33 3.50	0.22 <sup>x</sup> 0.28	33.42 <sup>x</sup> 36.81	3.27 <sup>x</sup> 3.42	Испытания в пакете

\* При контрольных измерениях с целью оценки соответствия фактической ударной прочности с требуемой величиной  $\sigma_{II}$  можно воспользоваться. Соответствие оценивается по соотношению (I).

расчитывать

**ПРИЛОЖЕНИЕ**

- 8 -

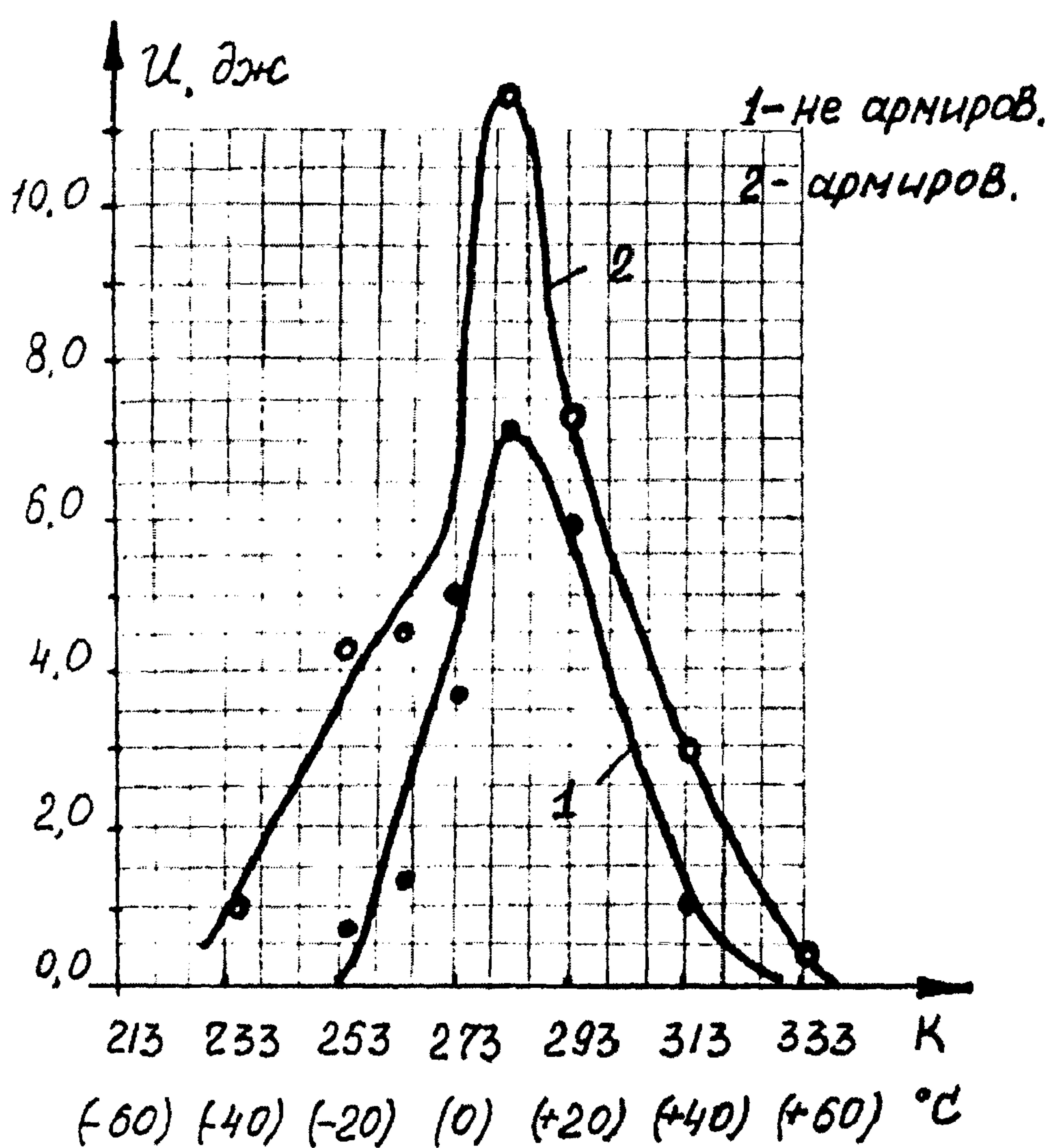


Рис. 4. Влияние температуры на ударную прочность покрытий из основе битума, МБР-90.  $\sigma = 4,0 \text{ МН}$

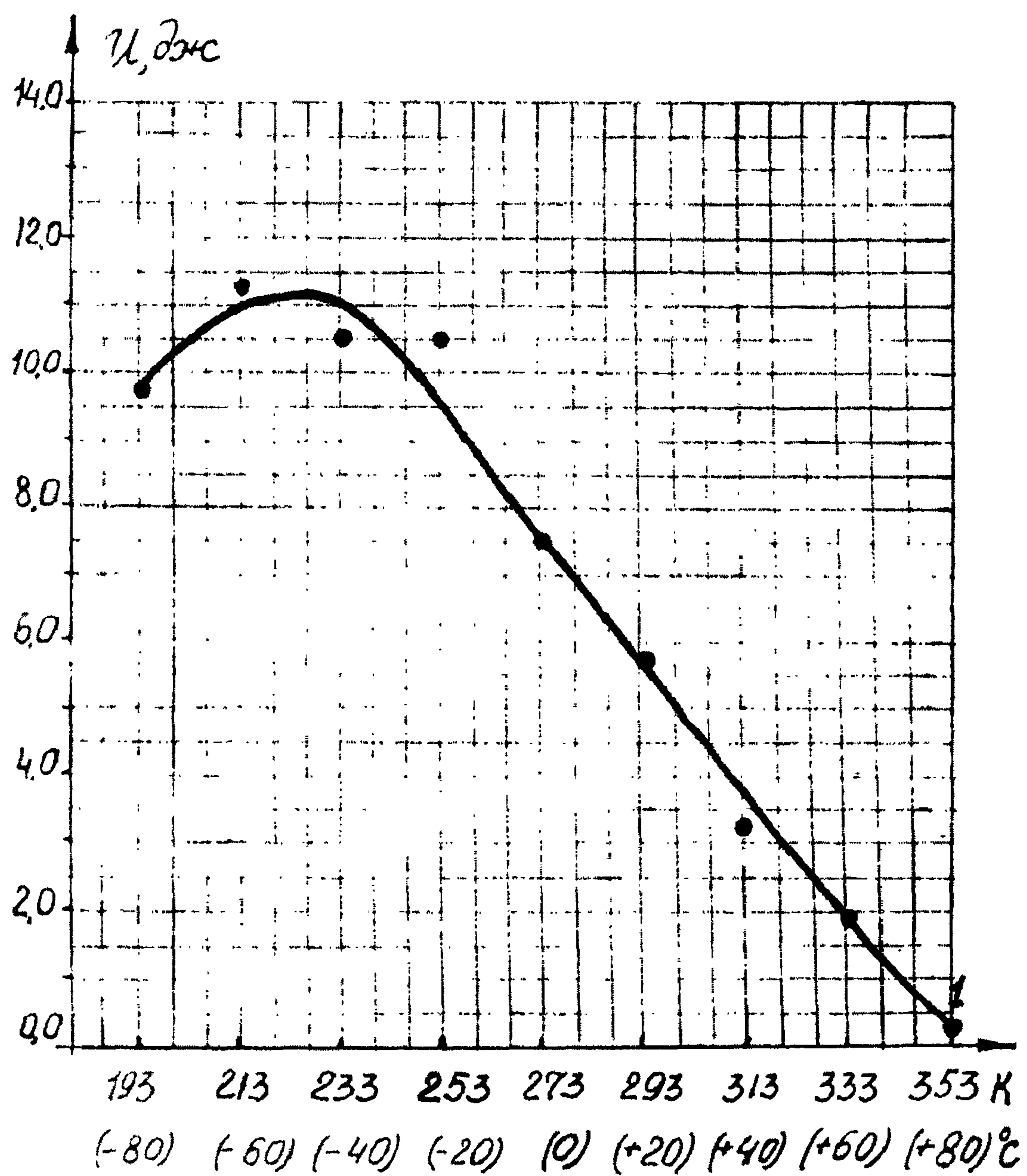


Рис. 8. Влияние температуры на ударную прочность покрытия на основе ПЗ.  $\delta = 1,5 \text{ мм}$

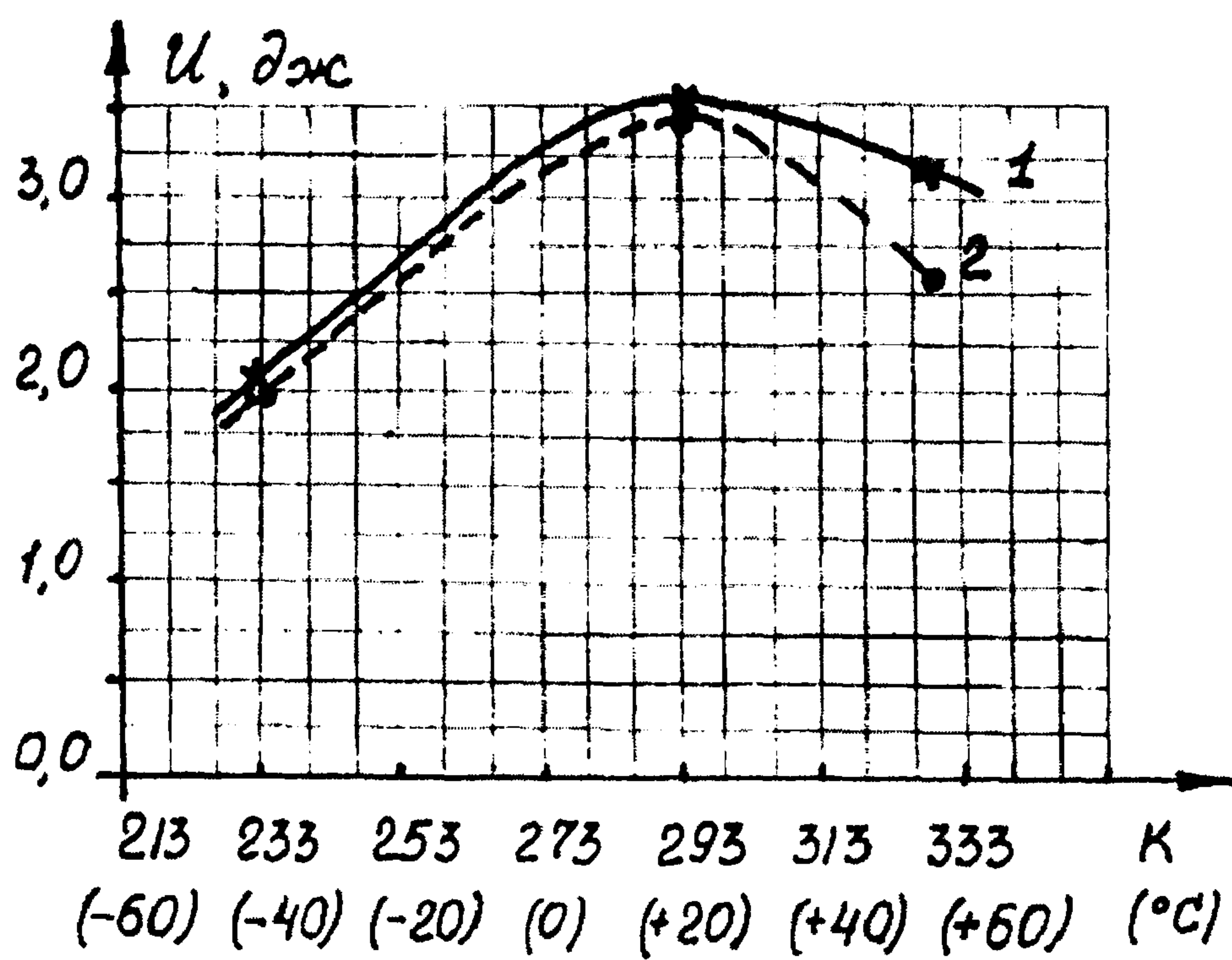


Рис. 3. Влияние температуры на ударную прочность покрытий на основе эпоксидных смол.  
1. ПЗП-97I 2. Либерт.  $\sigma = 0,35 \text{ мм}$